

УДК 624.07:534.1

© 1996 г. В. М. АЛЕКСАНДРОВ, И. А. ДУПЛЯКИН

ДИНАМИКА БЕСКОНЕЧНОЙ БАЛКИ ТИМОШЕНКО,  
 ЛЕЖАЩЕЙ НА ОСНОВАНИИ С ДВУМЯ УПРУГИМИ  
 ХАРАКТЕРИСТИКАМИ, ПРИ ДВИЖЕНИИ ДЕФОРМИРУЕМОГО  
 ЭКИПАЖА

Рассматривается задача о безотрывном движении с постоянной скоростью деформируемого экипажа по бесконечной балке типа Тимошенко, лежащей на инерционном основании с двумя коэффициентами постели. Экипаж представляет собой систему жестких тел с вязкоупругими связями и контактирует с балкой через такие же связи (рессоры) в конечном числе точек. Предлагается схема получения асимптотического решения в виде ряда при большом времени, приводятся асимптотические решения для импульсной, постоянной и осциллирующей сил, приложенных к балке, сосредоточенной массе и подрессоренной массе. Наряду с более полным исследованием особенностей названных упругих систем (обзор литературы приводится в [1]) рассмотрен ряд неизученных ранее явлений. Исследован характер сингулярности решения при движении нагрузки со скоростями звука по балке типа Тимошенко. Построены резонансные кривые в зависимости от скорости движения нагрузки и исследован рост прогиба балки (рессоры) при воздействии осциллирующей с резонансной частотой силы. Обнаружена антирезонансная частота и исследован характер решения при воздействии осциллирующей с этой частотой силы на балку типа Тимошенко. Исследована устойчивость движения сосредоточенной и подрессоренной масс.

**1. Постановка задачи.** Уравнение динамического изгиба балки типа Тимошенко, находящейся в условиях обобщенного плоского напряженного состояния, имеет вид

$$EJ \frac{\partial^4 y}{\partial x^4} - \nu_1 \rho J \frac{\partial^4 y}{\partial x^2 \partial t^2} + \nu_2 \frac{\rho^2 J}{E} \frac{\partial^4 y}{\partial t^4} + \rho F \frac{\partial^2 y}{\partial t^2} = \quad (1.1)$$

$$= \left( 1 - \nu_3 \frac{J}{F} \frac{\partial^2}{\partial x^2} + \nu_2 \frac{\rho J}{EF} \frac{\partial^2}{\partial t^2} \right) (p_1 - p_2)$$

$$\nu_1 = 2(2 + \nu), \quad \nu_2 = \frac{1}{2}(1 + \nu)(7 - \nu), \quad \nu_3 = 3 + \nu$$

где  $\nu$ ,  $E$ ,  $\rho$ ,  $J$  и  $F$  — коэффициент Пуассона и модуль Юнга, плотность, момент инерции и площадь сечения балки соответственно,  $y$  — прогиб балки,  $x$  — продольная координата,  $t$  — время,  $p_1$  и  $p_2$  — поперечные нагрузки на верхнюю и нижнюю грани балки. Отметим, что для вывода уравнения (1.1) были использованы уточненные уравнения плоской деформации полосы, полученные в работе [2].

Пусть балка покоится на инерционном основании с двумя упругими характеристиками. Тогда

$$p_2 = ky - k_1 \partial^2 y / \partial x^2 + m_0 \partial^2 y / \partial t^2 \quad (1.2)$$

где  $k$  и  $k_1$  упругие характеристики основания,  $m_0$  — его погонная инерционная масса.

Введем базовые коэффициенты подобия  $r_1 = (EJ/k)^{1/4}$  [м],

$r_2 = (1/2 (\rho F + m_0)/k)^{1/2}$  [с],  $r_3 = (EJk)^{1/2}$  [Н] и запишем уравнение (1.1) с учетом (1.2) относительно безразмерных переменных (переход к размерным величинам осуществляется умножением безразмерных переменных на соответствующие комбинации базовых коэффициентов подобия):

$$(1 + \beta_2 \tilde{k}_1) \frac{\partial^4 \tilde{y}}{\partial \tilde{x}^4} - 2(\beta_3 + \beta_1 \tilde{k}_1) \frac{\partial^4 \tilde{y}}{\partial \tilde{x}^2 \partial \tilde{z}^2} + 4\beta_1 \frac{\partial^4 \tilde{y}}{\partial \tilde{t}^4} - (\beta_2 + \tilde{k}_1) \frac{\partial^2 \tilde{y}}{\partial \tilde{x}^2} + 2(1 + \beta_1) \frac{\partial^2 \tilde{y}}{\partial \tilde{z}^2} + \tilde{y} = \left[ 1 - \beta_2 \frac{\partial^2}{\partial \tilde{x}^2} + 2\beta_1 \frac{\partial^2}{\partial \tilde{z}^2} \right] \tilde{p}_1$$

$$\beta_1 = \frac{v_2 \gamma_2^2}{1 + \gamma_1}, \quad \beta_2 = v_3 \gamma_2, \quad \beta_3 = \frac{v_1 + v_3 \gamma_1}{1 + \gamma_1} \gamma_2, \quad \gamma_1 = \frac{m_0}{\rho F}, \quad \gamma_2 = \left( \frac{Jk}{F^2 E} \right)^{1/2}$$

В дальнейших выкладках будут участвовать только безразмерные величины, поэтому далее знак ( $\sim$ ) опускается.

Пусть  $v$  — скорость движения экипажа,  $w(\xi, t) = y(x - vt, t)$ ,  $\xi = x - vt$ ,  $z_n(t)$  — перемещение в  $n$ -ой рессоре ( $1 \leq n \leq N$ ),  $\xi_n$  — ее координата,  $w_n = w(\xi_n, t)$  — прогиб балки под рессорой,  $m_n$  — сосредоточенные массы в точках  $\xi_n$ ,  $P_n(t)$  — приложенные к ним силы,  $\varepsilon_n$  и  $\mu_n$  — коэффициенты упругости и вязкости рессоры  $n$ ,  $q_n(t)$  — давление экипажа на балку в точке  $\xi_n$ . Сформулируем постановку задачи относительно переменных  $\xi$  и  $t$  для случая движения экипажа с постоянной скоростью:

$$\begin{aligned} & [1 + k_1 \beta_2 - 2(\beta_3 + k_1 \beta_1) v^2 + 4\beta_1 v^4] \frac{\partial^4 w}{\partial \xi^4} + 4v(\beta_3 + k_1 \beta_1 - 4\beta_1 v^2) \frac{\partial^4 w}{\partial \xi^3 \partial t} - \\ & - 2(\beta_3 + k_1 \beta_1 - 12\beta_1 v^2) \frac{\partial^4 w}{\partial \xi^2 \partial t^2} - 16\beta_1 v \frac{\partial^4 w}{\partial \xi \partial t^3} + 4\beta_1 \frac{\partial^4 w}{\partial t^4} - \end{aligned} \quad (1.3)$$

$$- [\beta_2 + k_1 - 2(1 + \beta_1) v^2] \frac{\partial^2 w}{\partial \xi^2} - 4(1 + \beta_1) v \frac{\partial^2 w}{\partial \xi \partial t} + 2(1 + \beta_1) \frac{\partial^2 w}{\partial t^2} + w =$$

$$= \left\{ 1 - (\beta_2 - 2\beta_1 v^2) \frac{\partial^2}{\partial \xi^2} - 4\beta_1 v \frac{\partial^2}{\partial \xi \partial t} + 2\beta_1 \frac{\partial^2}{\partial t^2} \right\} \sum_{n=1}^N q_n(t) \delta(\xi - \xi_n)$$

$$m_n \frac{d^2 w_n}{dt^2} + \mu_n \left( \frac{dw_n}{dt} - \frac{dz_n}{dt} \right) + \varepsilon_n (w_n - z_n) = P_n(t) - q_n(t) \quad (\xi = \xi_n) \quad (1.4)$$

где (1.3) — уравнения изгиба балки, (1.4) — уравнения деформации рессор экипажа.

Предполагается, что малые вертикальные колебания элементов экипажа описываются линейными обыкновенными дифференциальными уравнениями с постоянными коэффициентами, а связи прогибов рессор с перемещениями элементов экипажа — линейными алгебраическими уравнениями. Граничные и начальные условия полагаются нулевыми.

2. Схема построения асимптотического решения при  $t \rightarrow +\infty$ . Применим последовательно к уравнению (1.3) преобразование Фурье по  $\xi$  и Лапласа по  $t$ . Тогда

$$w(\xi, t) = \frac{1}{4\pi^2 i} \int_{\Gamma_1} \int_{\Gamma_2} W_{LF}(p, \alpha) \exp(pt - i\alpha\xi) d\alpha dp \quad (2.1)$$

$$W_{LF}(p, \alpha) = \frac{H(\alpha, p)}{\Phi(\alpha, p)} \sum_{n=1}^N Q_n(p) \exp(i\alpha\xi_n), \quad Q_n(p) = \int_0^{\infty} q_n(t) \exp(-pt) dt \quad (2.2)$$

$$\Phi(\alpha, p) = [1 + k_1 \beta_2 - 2(\beta_3 + k_1 \beta_1) v^2 + 4\beta_1 v^4] \alpha^4 + i4v(\beta_3 + k_1 \beta_1 - 4\beta_1 v^2) p \alpha^3 +$$

$$+ [2(\beta_3 + k_1\beta_1 - 12\beta_1v^2)p^2 + \beta_2 + k_1 - 2(1 + \beta_1)v^2]\alpha^2 + \quad (2.3)$$

$$+ 4i\nu(4\beta_1p^2 + 1 + \beta_1)p\alpha + 4\beta_1p^4 + 2(1 + \beta_1)p^2 + 1$$

$$H(\alpha, p) = (\beta_2 - 2\beta_1v^2)\alpha^2 + 4i\beta_1\nu p\alpha + 2\beta_1p^2 + 1 \quad (2.4)$$

где  $\Gamma_1$  — прямая, лежащая правее мнимой оси в  $p$ -плоскости,  $\Gamma_2$  — действительная ось в  $\alpha$ -плоскости при  $\text{Re } p > 0$ .

Приравняв нулю коэффициент при  $\alpha^4$  в уравнении (2.3), вычислим скорости распространения возмущений в балке (скорости звука):

$$v_{1,2} = 1/2\beta_1^{-1/2} \{ \beta_3 + k_1\beta_1 \mp [(\beta_3 + k_1\beta_1)^2 - 4\beta_1(1 + k_1\beta_2)]^{1/2} \}^{1/2} \quad (2.5)$$

Поступая далее так же, как было ранее сделано для случая балки Бернулли — Эйлера [3], рассмотрим функцию  $\alpha(p)$  корней полинома (2.3). Ее точки разветвления определяются из уравнения

$$R[\Phi(\alpha, p), \Phi'_\alpha(\alpha, p)] = 0 \quad (2.6)$$

где  $R$  — результат уравнений  $\Phi$  и  $\Phi'_\alpha$  [4]. Уравнение (2.6) является полиномом двенадцатой степени при  $v \neq v_k$  (десятой степени при  $v = v_k$ ) с действительными коэффициентами относительно параметра  $p$ .

Обозначим точки разветвления  $p_{ij}$  согласно осуществляемой в них склейке ветвей функции  $\alpha(p)$  и построим область однозначности для функции  $\alpha(p)$  при малых значениях  $\gamma_2$  и  $k_1$ . Вследствие того, что уравнение (2.6) имеет весьма громоздкое представление в явном виде, для его решения можно использовать следующую схему. Вычисляются значения результата (2.6) в  $(n+1)$  точках  $p$ -плоскости, где  $n$  — степень искомого полинома. Затем методом исключения неизвестных Гаусса находятся коэффициенты полинома, корни которого являются точками разветвления  $p_{ij}$ .

Обозначим через  $v_0$  скорость, при которой точки разветвления первого порядка совпадают в точке  $p = 0$  (аналог критической скорости для балки Бернулли — Эйлера):

$$v_0 = \{ 1/2d_3^{-2} [d_1 \pm (d_1^2 + d_2d_3^2)^{1/2}] \}^{1/2} \quad (2.7)$$

$$d_1 = \beta_2(1 + \beta_1) - 2\beta_3 + k_1d_3, \quad d_2 = 4 - (\beta_2 - k_1)^2, \quad d_3 = 1 - \beta_1$$

где будем брать знак плюс, считая  $k_1$  и  $\gamma_2$  достаточно малыми. Обозначим также через  $v_1^*$  и  $v_2^*$  некоторые скорости, при которых возникают точки разветвления второго порядка, расположенные на мнимой оси ( $0 < v_1^* < v_0 < v_1 < v_2^* < v_2$ ), причем  $v_1^*$  существует при  $k_1 < k_1^*$ , где

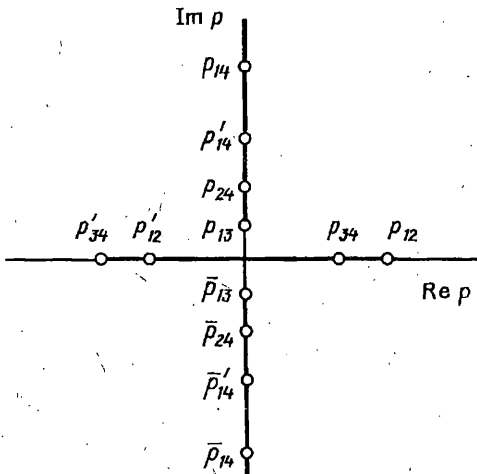
$$k_1^* = (\beta_3 - \beta_2)(1 - \beta_1)^{-1} = \gamma_2(v_1 - v_3)(1 + \gamma_1 - v_2\gamma_2^2)^{-1} \quad (2.8)$$

Фиг. 1—7 иллюстрируют области однозначности для функции  $\alpha(p)$  при аналитическом продолжении ее с участка действительной оси  $L = (b, +\infty)$  такого, что в области  $\text{Re } p > b$  отсутствуют точки разветвления и выходящие из них разрезы. Как и для случая балки Бернулли — Эйлера [3], разрезы, проходящие по мнимой оси, ограничивают переход корней полинома (2.3) через действительную ось в  $\alpha$ -плоскости. Замечая, что корни полинома (2.3) располагаются на мнимой оси при  $p \in L$ , пронумеруем их так, как это сделано ниже

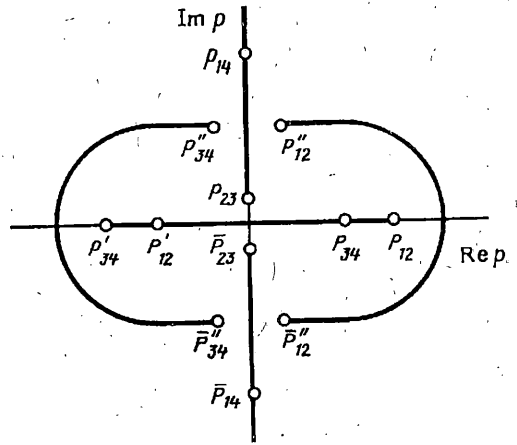
$$\text{Im } \alpha_2 > \text{Im } \alpha_1 > 0, \quad \text{Im } \alpha_3 < \text{Im } \alpha_4 < 0 \quad \text{при } 0 < v \leq v_1$$

$$\text{Im } \alpha_2 > \text{Im } \alpha_1 > 0, \quad \text{Im } \alpha_4 < 0 \quad \text{и } \alpha_3 \text{ отсутствует при } v = v_1$$

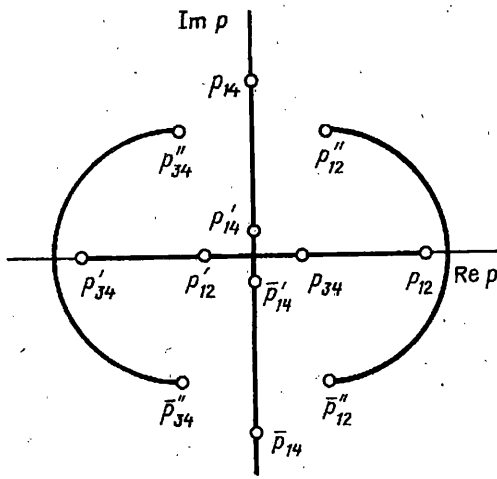
$$\text{Im } \alpha_3 > \text{Im } \alpha_2 > \text{Im } \alpha_1 > 0, \quad \text{Im } \alpha_4 < 0 \quad \text{при } v_1 < v < v_2$$



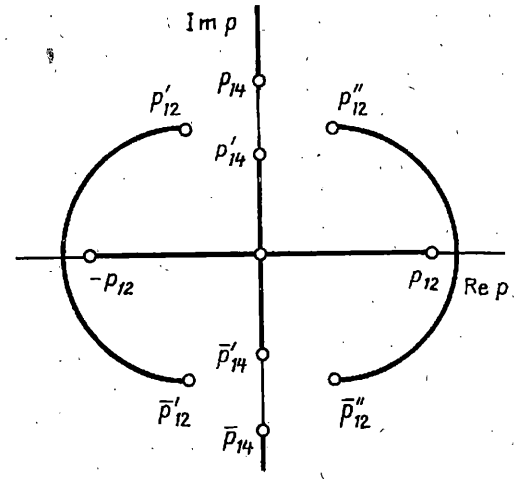
Фиг. 1



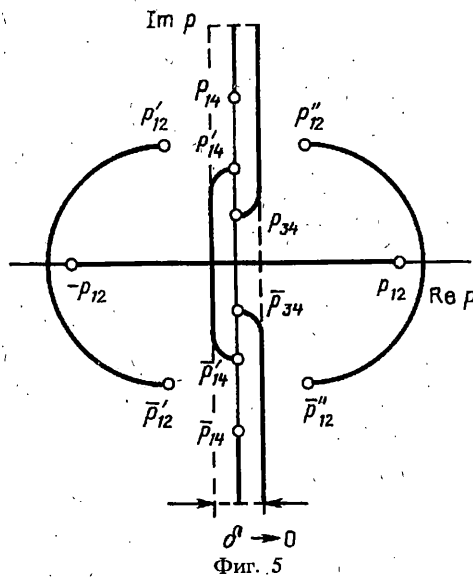
Фиг. 2



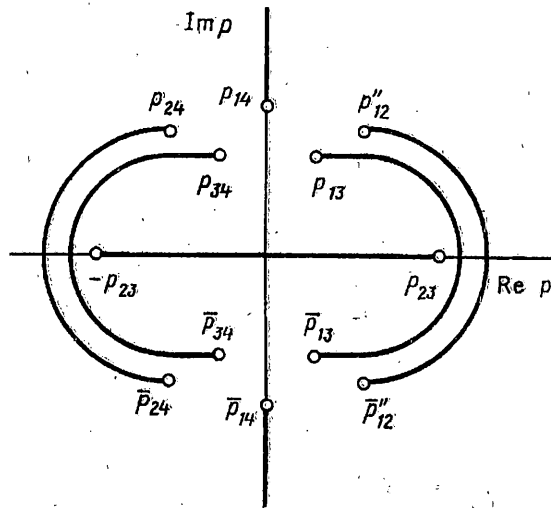
Фиг. 3



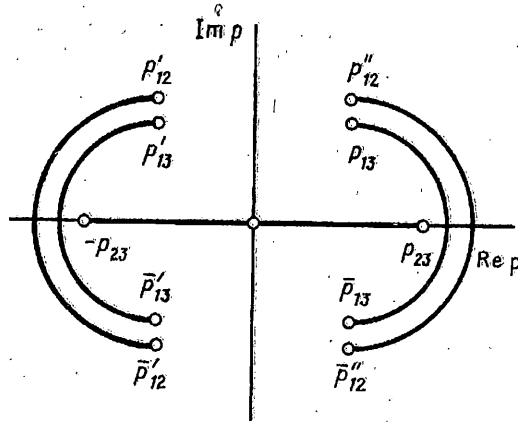
Фиг. 4



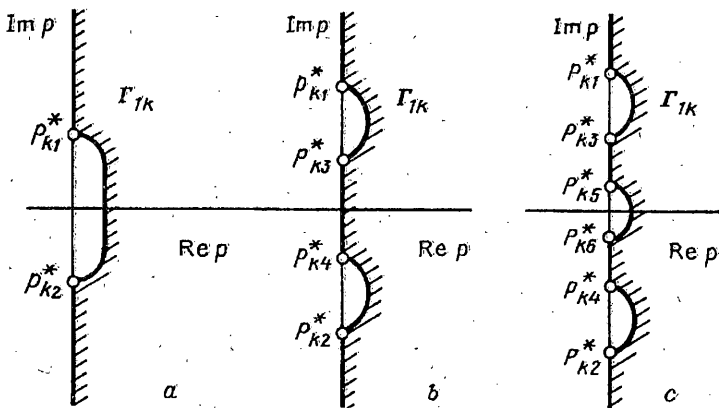
Фиг. 5



Фиг. 6



Фиг. 7



Фиг. 8

$\text{Im } \alpha_3 > \text{Im } \alpha_2 > \text{Im } \alpha_1 > 0$  и  $\alpha_4$  отсутствует при  $v = v_2$

$\text{Im } \alpha_4 > \text{Im } \alpha_3 > \text{Im } \alpha_2 > \text{Im } \alpha_1 > 0$  при  $v > v_2$

и опишем подробнее области однозначности при различных параметрах  $v$  и  $k_1^*$ .

1). Пусть  $0 \leq v \leq v_1^*$ ,  $0 \leq k_1 < k_1^*$  (фиг. 1). Тогда для точек разветвления, расположенных на действительной оси, выполняются равенства  $p_{34} = -p_{12}'$ ,  $p_{12} = -p_{34}'$ . Разрезы, выходящие из точек  $p_{13}$ ,  $p_{24}$ ,  $p_{14}'$  и  $p_{14}$ , сливаются в разрез, проходящий по лучу  $[p_{13}, +i\infty)$ . Подобную же структуру имеет разрез, проходящий по лучу  $[\bar{p}_{13}, -i\infty)$ , причем  $p_{24} = p_{13}$  и  $\bar{p}_{13} = \bar{p}_{24}$  при  $v = 0$  (при этом порядок точек разветвления и склейка ветвей не меняются). Разрезы, соединяющие попарно точки  $p_{34}$  и  $p_{34}'$ ,  $p_{12}$  и  $p_{12}'$ , сливаются на отрезке действительной оси  $[p_{34}', p_{12}]$ . При  $v \rightarrow v_1^*$  попарно сливаются в точки разветвления второго порядка  $p_{24}$  и  $p_{14}'$ ,  $\bar{p}_{24}$  и  $\bar{p}_{14}'$ , а  $p_{13}$  и  $\bar{p}_{13}$  трансформируются при  $v = v_1^*$  соответственно в  $p_{23}$  и  $\bar{p}_{23}$ .

2). Пусть  $v = 0$ ,  $k_1 = k_1^*$ . Тогда тройки точек  $p_{13}$ ,  $p_{24}$ ,  $p_{14}'$  и  $p_{13}$ ,  $p_{24}$ ,  $p_{14}'$  на фиг. 1 сливаются соответственно в две комплексно сопряженные точки разветвления третьего порядка.

3). Если  $0 \leq v \leq v_0$ ,  $k > k_1^*$  или  $v_1^* < v \leq v_0$ ,  $0 \leq k_1 < k_1^*$  (фиг. 2), то разрезы проходят по лучам  $[p_{23}, +i\infty)$ ,  $[\bar{p}_{23}, -i\infty)$ , отрезку  $[p_{34}', p_{12}]$  и простым кривым, соединяющим попарно комплексно сопряженные точки  $p_{12}''$  и  $\bar{p}_{12}''$ ,  $p_{34}''$  и  $\bar{p}_{34}''$ , причем  $p_{23} = \bar{p}_{23} = 0$  при  $v = v_0$ . В последнем случае порядок точек разветвления и склейка ветвей не меняются.

4). Если  $v_0 < v < v_1$  (фиг. 3), то пересекая разрез, проходящий по действительной оси, точки  $p_{23}$  и  $\bar{p}_{23}$  трансформируются в точки  $p_{14}'$  и  $\bar{p}_{14}'$ . И хотя при этом разрезы  $[\bar{p}_{14}', +i\infty)$  и  $[p_{14}', -i\infty)$  перекрываются на мнимой оси, область однозначности функции  $\alpha(p)$  по-прежнему остается односвязной. Действительно, раздвигая разрезы на расстояние  $\delta$ , можно замкнуть контур  $\Gamma_1$  в левой полуплоскости, а затем рассмотреть его предельное положение при  $\delta \rightarrow 0$ .

5). Пусть  $v = v_1$  и ветвь  $\alpha_3$  отсутствует (фиг. 4). Тогда точки  $p_{34}$  и  $p_{12}'$  на фиг. 3 сливаются в точке  $p = 0$ , образуя особенность

$$\alpha_4(p) = i \frac{\beta_2 + k_1 - 2(1 + \beta_1)v_1^2}{4v_1(\beta_3 + k_1\beta_1 - 4\beta_1v_1^2)} p^{-1} + O(p) \text{ при } p \rightarrow 0 \quad (2.9)$$

а точки  $p_{34}'$ ,  $\bar{p}_{34}''$  и  $\bar{p}_{34}'$  трансформируются соответственно в точки  $p_{12}'$ ,  $\bar{p}_{12}'$  и  $-\bar{p}_{12}$ .

6). Если  $v_1 < v \leq v_2^*$  (фиг. 5), то из пункта  $p = 0$  расходятся две комплексно сопряженные точки разветвления  $p_{34}$  и  $\bar{p}_{34}$ , сливающиеся при  $v \rightarrow v_2^*$  соответственно с  $p_{14}'$  и  $\bar{p}_{14}'$  в точки разветвления второго порядка.

7). Если  $v_2^* < v < v_2$  (фиг. 6), то появляются новые точки разветвления  $p_{13}$  и  $\bar{p}_{13}$ ,  $p_{34}$  и  $\bar{p}_{34}$ . Соединим их попарно разрезами, проходящими по простым кривым. При этом точки  $p_{12}'$ ,  $\bar{p}_{12}'$ ,  $p_{12}$  и  $-p_{12}$  на фиг. 5 трансформируются соответственно в точки  $p_{24}$ ,  $\bar{p}_{24}$ ,  $p_{23}$  и  $-p_{23}$ .

8). В случае, когда  $v = v_2$  и ветвь  $\alpha_4$  отсутствует (фиг. 7), точки  $p_{14}$  и  $\bar{p}_{14}$  на фиг. 6 сливаются в точке  $p = 0$ , образуя особенность

$$\alpha_1(p) = i \frac{\beta_2 + k_1 - 2(1 + \beta_1)v_2^2}{4v_2(\beta_3 + k_1\beta_1 - 4\beta_1v_2^2)} p^{-1} + O(p) \text{ при } p \rightarrow 0 \quad (2.10)$$

а точки  $p_{24}$ ,  $\bar{p}_{24}$ ,  $p_{34}$  и  $\bar{p}_{34}$  трансформируются соответственно в точки  $p_{12}'$ ,  $\bar{p}_{12}'$ ,  $p_{13}'$  и  $\bar{p}_{13}'$ .

9). Если  $v > v_2$ , то из пункта  $p = 0$  расходятся две точки разветвления  $p_{14}$  и  $-p_{14}$ , расположенные на действительной оси.

Таким образом, уравнение (2.6) определяет двенадцать точек разветвления первого порядка при  $v \neq v_k$  и  $v \neq v_k^*$  ( $k = 1, 2$ ), десять точек разветвления первого порядка при  $v = v_1$  или  $v = v_2$ , восемь точек разветвления первого порядка и две второго порядка при  $v = v_1^*$  или  $v = v_2^*$ , шесть точек разветвления первого порядка и две третьего порядка при  $k_1 = k_1^*$ ,  $v = 0$ .

Расположение корней  $\alpha_k(p)$  полинома (2.3) на правых берегах разрезов, проходящих по мнимой оси (помечены знаком плюс), приведено ниже. Чтобы получить значения ветвей функции  $\alpha_k$  на левых берегах разрезов, нужно учесть очевидную перестановку  $\alpha_i \leftrightarrow \alpha_j$  при обходе точки разветвления  $p_{ij}$ .

Пусть  $0 \leq k_1 < k_1^*$ ,  $0 \leq v \leq v_1^*$ , тогда

$$\operatorname{Im} \alpha_k = 0, \quad k = 1, 2, 3, 4 \text{ и } \operatorname{Re} \alpha_3 < \operatorname{Re} \alpha_4 \leq \operatorname{Re} \alpha_1 < \operatorname{Re} \alpha_2 \text{ при } p \in (-i\infty, \bar{p}_{14}]^+$$

$$\operatorname{Im} \alpha_1 > 0, \operatorname{Im} \alpha_4 < 0 \text{ и } \operatorname{Im} \alpha_2 = \operatorname{Im} \alpha_3 = 0, \operatorname{Re} \alpha_3 < \operatorname{Re} \alpha_2 \text{ при } p \in (\bar{p}_{14}, \bar{p}'_{14})^+$$

$$\operatorname{Im} \alpha_k = 0, \quad k = 1, 2, 3, 4 \text{ и } \operatorname{Re} \alpha_3 < \operatorname{Re} \alpha_1 \leq \operatorname{Re} \alpha_4 \leq \operatorname{Re} \alpha_2 \text{ при } p \in [\bar{p}'_{14}, \bar{p}_{24}]^+$$

$$\operatorname{Im} \alpha_2 > 0, \operatorname{Im} \alpha_4 < 0 \text{ и } \operatorname{Im} \alpha_1 = \operatorname{Im} \alpha_3 = 0, \operatorname{Re} \alpha_3 \leq \operatorname{Re} \alpha_1 \text{ при } p \in (\bar{p}_{24}, \bar{p}_{13}]^+$$

$$\operatorname{Im} \alpha_2 > 0, \operatorname{Im} \alpha_4 < 0 \text{ и } \operatorname{Im} \alpha_1 = \operatorname{Im} \alpha_3 = 0, \operatorname{Re} \alpha_1 \leq \operatorname{Re} \alpha_3 \text{ при } p \in [p_{13}, p_{24})^+$$

$$\operatorname{Im} \alpha_k = 0, \quad k = 1, 2, 3, 4 \text{ и } \operatorname{Re} \alpha_2 \leq \operatorname{Re} \alpha_4 \leq \operatorname{Re} \alpha_1 < \operatorname{Re} \alpha_3 \text{ при } p \in [p_{24}, p'_{14}]^+$$

$$\operatorname{Im} \alpha_1 > 0, \operatorname{Im} \alpha_4 < 0 \text{ и } \operatorname{Im} \alpha_2 = \operatorname{Im} \alpha_3 = 0, \operatorname{Re} \alpha_2 < \operatorname{Re} \alpha_3 \text{ при } p \in (p'_{14}, p_{14})^+$$

$$\operatorname{Im} \alpha_k = 0, \quad k = 1, 2, 3, 4 \text{ и } \operatorname{Re} \alpha_2 < \operatorname{Re} \alpha_1 \leq \operatorname{Re} \alpha_4 < \operatorname{Re} \alpha_3 \text{ при } p \in [p_{14}, +i\infty)^+$$

$$\operatorname{Im} \alpha_1 > 0, \operatorname{Im} \alpha_2 > 0, \operatorname{Im} \alpha_3 < 0, \operatorname{Im} \alpha_4 < 0 \text{ при } p \notin [p_{13}, +i\infty] \text{ и } p \notin (-i\infty, p_{13}]$$

Если  $k_1 = k_1^*$ ,  $v = 0$ , то

$$\operatorname{Im} \alpha_k = 0, \quad k = 1, 2, 3, 4 \text{ и } \operatorname{Re} \alpha_3 \operatorname{Re} \alpha_4 \leq \operatorname{Re} \alpha_1 < \operatorname{Re} \alpha_2 \text{ при } p \in (-i\infty, \bar{p}_{14}]^+$$

$$\operatorname{Im} \alpha_1 \geq 0, \operatorname{Im} \alpha_4 \leq 0 \text{ и } \operatorname{Im} \alpha_2 = \operatorname{Im} \alpha_3 = 0, \operatorname{Re} \alpha_3 \leq \operatorname{Re} \alpha_2 \text{ при } p \in (\bar{p}_{14}, \bar{p}_{23})^+$$

$$\operatorname{Im} \alpha_1 \geq 0, \operatorname{Im} \alpha_4 \leq 0 \text{ и } \operatorname{Im} \alpha_2 = \operatorname{Im} \alpha_3 = 0, \operatorname{Re} \alpha_2 \leq \operatorname{Re} \alpha_3 \text{ при } p \in (p_{23}, p_{14})^+$$

$$\operatorname{Im} \alpha_k = 0, \quad k = 1, 2, 3, 4 \text{ и } \operatorname{Re} \alpha_2 < \operatorname{Re} \alpha_1 \leq \operatorname{Re} \alpha_4 < \operatorname{Re} \alpha_3 \text{ при } p \in [p_{14}, +i\infty)^+$$

$$\operatorname{Im} \alpha_1 > 0, \operatorname{Im} \alpha_2 > 0, \operatorname{Im} \alpha_3 < 0, \operatorname{Im} \alpha_4 < 0 \text{ при } p \notin [p_{23}, +i\infty) \text{ и } p \notin (-i\infty, \bar{p}_{23}]$$

В случае когда  $0 \leq k_1 < k_1^*$ ,  $v_1^* < v \leq v_0$  или  $k_1 \geq k_1^*$ ,  $0 < v \leq v_0$ , имеем

$$\operatorname{Im} \alpha_k = 0, \quad k = 1, 2, 3, 4 \text{ и } \operatorname{Re} \alpha_3 < \operatorname{Re} \alpha_4 \leq \operatorname{Re} \alpha_1 < \operatorname{Re} \alpha_2 \text{ при } p \in (-i\infty, \bar{p}_{14}]^+$$

$$\operatorname{Im} \alpha_1 > 0, \operatorname{Im} \alpha_4 < 0 \text{ и } \operatorname{Im} \alpha_2 = \operatorname{Im} \alpha_3 = 0, \operatorname{Re} \alpha_3 \leq \operatorname{Re} \alpha_2 \text{ при } p \in (\bar{p}_{14}, \bar{p}_{23})^+$$

$$\operatorname{Im} \alpha_1 > 0, \operatorname{Im} \alpha_4 < 0 \text{ и } \operatorname{Im} \alpha_2 = \operatorname{Im} \alpha_3 = 0, \operatorname{Re} \alpha_2 \leq \operatorname{Re} \alpha_3 \text{ при } p \in (p_{23}, p_{14})^+$$

$$\operatorname{Im} \alpha_k = 0, \quad k = 1, 2, 3, 4 \text{ и } \operatorname{Re} \alpha_2 < \operatorname{Re} \alpha_1 \leq \operatorname{Re} \alpha_4 < \operatorname{Re} \alpha_3 \text{ при } p \in [p_{14}, +i\infty)^+$$

$$\operatorname{Im} \alpha_1 > 0, \operatorname{Im} \alpha_2 > 0, \operatorname{Im} \alpha_3 < 0, \operatorname{Im} \alpha_4 < 0 \text{ при } p \notin [p_{23}, +i\infty) \text{ и } p \notin (-i\infty, \bar{p}_{23}]$$

Если  $v_0 < v < v_1$ , то получим

$$\operatorname{Im} \alpha_k = 0, \quad k = 1, 2, 3, 4 \text{ и } \operatorname{Re} \alpha_3 < \operatorname{Re} \alpha_4 \leq \operatorname{Re} \alpha_1 < \operatorname{Re} \alpha_2 \text{ при } p \in (-i\infty, \bar{p}_{14}]^+$$

$\text{Im } \alpha_1 > 0, \text{Im } \alpha_4 < 0$  и  $\text{Im } \alpha_2 = \text{Im } \alpha_3 = 0, \text{Re } \alpha_3 < \text{Re } \alpha_2$  при  $p \in (\bar{p}_{14}, \bar{p}_{14})^+$   
 $\text{Im } \alpha_k = 0, k = 1, 2, 3, 4$  и  $\text{Re } \alpha_3 < \text{Re } \alpha_2 < \text{Re } \alpha_1 \leq \text{Re } \alpha_4$  при  $p \in [\bar{p}'_{14}, 0)^+$   
 $\text{Im } \alpha_k = 0, k = 1, 2, 3, 4$  и  $\text{Re } \alpha_4 \leq \text{Re } \alpha_1 < \text{Re } \alpha_2 < \text{Re } \alpha_3$  при  $p \in (0, p'_{14})^+$   
 $\text{Im } \alpha_1 > 0, \text{Im } \alpha_4 < 0$  и  $\text{Im } \alpha_2 = \text{Im } \alpha_3 = 0, \text{Re } \alpha_2 < \text{Re } \alpha_3$  при  $p \in (p'_{14}, p_{14})^+$   
 $\text{Im } \alpha_k = 0, k = 1, 2, 3, 4$  и  $\text{Re } \alpha_2 < \text{Re } \alpha_1 \leq \text{Re } \alpha_4 < \text{Re } \alpha_3$  при  $p \in [p_{14}, +i\infty)^+$   
 $\text{Im } \alpha_1 > 0, \text{Im } \alpha_2 > 0, \text{Im } \alpha_3 < 0, \text{Im } \alpha_4 < 0$  при  $\text{Re } p \neq 0$

В случае, когда  $v = v_1$ , будем иметь

$\text{Im } \alpha_k = 0, k = 1, 2, 4$  и  $\text{Re } \alpha_4 \leq \text{Re } \alpha_1 < \text{Re } \alpha_2$  при  $p \in (-i\infty, \bar{p}_{14}]^+$

$\text{Im } \alpha_1 > 0, \text{Im } \alpha_4 < 0, \text{Im } \alpha_2 = 0$  при  $p \in (\bar{p}_{14}, \bar{p}_{14})^+$

$\text{Im } \alpha_k = 0, k = 1, 2, 4$  и  $\text{Re } \alpha_2 < \text{Re } \alpha_1 \leq \text{Re } \alpha_4$  при  $p \in [\bar{p}'_{14}, 0)^+$

$\alpha_4 = \infty$  при  $p = 0$

$\text{Im } \alpha_k = 0, k = 1, 2, 4$  и  $\text{Re } \alpha_4 \leq \text{Re } \alpha_1 < \text{Re } \alpha_2$  при  $p \in (0, p'_{14})^+$

$\text{Im } \alpha_1 > 0, \text{Im } \alpha_4 < 0, \text{Im } \alpha_2 = 0$  при  $p \in (p'_{14}, p_{14})^+$

$\text{Im } \alpha_k = 0, k = 1, 2, 4$  и  $\text{Re } \alpha_2 < \text{Re } \alpha_1 \leq \text{Re } \alpha_4$  при  $p \in [p_{14}, +i\infty)^+$

$\text{Im } \alpha_1 > 0, \text{Im } \alpha_2 > 0, \text{Im } \alpha_4 < 0$  при  $\text{Re } p > 0$

$\text{Im } \alpha_1 > 0, \text{Im } \alpha_2 < 0, \text{Im } \alpha_4 < 0$  при  $\text{Re } p < 0$

Для случая, когда  $v_1 < v \leq v_2^*$  получим

$\text{Im } \alpha_k = 0, k = 1, 2, 3, 4$  и  $\text{Re } \alpha_4 \leq \text{Re } \alpha_1 < \text{Re } \alpha_2 < \text{Re } \alpha_3$  при  $p \in (-i\infty, \bar{p}_{14}]^+$

$\text{Im } \alpha > 0, \text{Im } \alpha_4 < 0$  и  $\text{Im } \alpha_2 = \text{Im } \alpha_3 = 0, \text{Re } \alpha_2 < \text{Re } \alpha_3$  при  $p \in (\bar{p}_{14}, \bar{p}_{14})^+$

$\text{Im } \alpha_k = 0, k = 1, 2, 3, 4$  и  $\text{Re } \alpha_2 < \text{Re } \alpha_1 \leq \text{Re } \alpha_4 \leq \text{Re } \alpha_3$  при  $p \in [\bar{p}'_{14}, \bar{p}_{34}]^+$

$\text{Im } \alpha_3 > 0, \text{Im } \alpha_4 < 0$  и  $\text{Im } \alpha_1 = \text{Im } \alpha_2 = 0, \text{Re } \alpha_2 < \text{Re } \alpha_1$  при  $p \in (\bar{p}_{34}, 0)^+$

$\text{Im } \alpha_3 > 0, \text{Im } \alpha_4 < 0$  и  $\text{Im } \alpha_1 = \text{Im } \alpha_2 = 0, \text{Re } \alpha_1 < \text{Re } \alpha_2$  при  $p \in (0, p_{34})^+$

$\text{Im } \alpha_k = 0, k = 1, 2, 3, 4$  и  $\text{Re } \alpha_3 \leq \text{Re } \alpha_4 \leq \text{Re } \alpha_1 < \text{Re } \alpha_2$  при  $p \in [p_{34}, p'_{14}]^+$

$\text{Im } \alpha_1 > 0, \text{Im } \alpha_4 < 0$  и  $\text{Im } \alpha_2 = \text{Im } \alpha_3 = 0, \text{Re } \alpha_3 < \text{Re } \alpha_2$  при  $p \in (p'_{14}, p_{14})^+$

$\text{Im } \alpha_k = 0, k = 1, 2, 3, 4$  и  $\text{Re } \alpha_3 < \text{Re } \alpha_2 < \text{Re } \alpha_1 \leq \text{Re } \alpha_4$  при  $p \in [p_{14}, +i\infty)^+$

$\text{Im } \alpha_1 > 0, \text{Im } \alpha_2 > 0, \text{Im } \alpha_3 > 0, \text{Im } \alpha_4 < 0$  при  $\text{Re } p > 0$

$\text{Im } \alpha_1 > 0, \text{Im } \alpha_2 < 0, \text{Im } \alpha_3 < 0, \text{Im } \alpha_4 < 0$  при  $\text{Re } p < 0$

При  $v_2^* < v \leq v_2$  будем иметь

$\text{Im } \alpha_k = 0, k = 1, 2, 3, 4$  и  $\text{Re } \alpha_4 \leq \text{Re } \alpha_1 < \text{Re } \alpha_2 < \text{Re } \alpha_3$  при  $p \in (-i\infty, \bar{p}_{14}]^+$

$\text{Im } \alpha_1 > 0, \text{Im } \alpha_4 < 0$  и  $\text{Im } \alpha_2 = \text{Im } \alpha_3 = 0, \text{Re } \alpha_2 < \text{Re } \alpha_3$  при  $p \in (\bar{p}_{14}, 0)^+$

$\text{Im } \alpha_1 > 0, \text{Im } \alpha_4 < 0$  и  $\text{Im } \alpha_2 = \text{Im } \alpha_3 = 0, \text{Re } \alpha_3 < \text{Re } \alpha_2$  при  $p \in (0, p_{14})^+$

$\text{Im } \alpha_k = 0, k = 1, 2, 3, 4$  и  $\text{Re } \alpha_3 < \text{Re } \alpha_2 < \text{Re } \alpha_1 \leq \text{Re } \alpha_4$  при  $p \in [p_{14}, +i\infty)^+$

$\text{Im } \alpha_1 > 0, \text{Im } \alpha_2 > 0, \text{Im } \alpha_3 > 0, \text{Im } \alpha_4 < 0$  и  $\text{Re } p > 0$



$\text{Im } \alpha_1 > 0, \text{Im } \alpha_2 < 0, \text{Im } \alpha_3 < 0, \text{Im } \alpha_4 < 0$  при  $\text{Re } p < 0$ .

Для случая  $v = v_2$ , получим

$\text{Im } \alpha_k = 0, k = 1, 2, 3$  и  $\text{Re } \alpha_1 < \text{Re } \alpha_2 < \text{Re } \alpha_3$  при  $p \in (-i\infty, 0)$

$\alpha_3 = \infty$  при  $p = 0$

$\text{Im } \alpha_k = 0, k = 1, 2, 3$  и  $\text{Re } \alpha_3 < \text{Re } \alpha_2 < \text{Re } \alpha_1$  при  $p \in (0, +i\infty)^+$

$\text{Im } \alpha_1 > 0, \text{Im } \alpha_2 > 0, \text{Im } \alpha_3 > 0$  при  $\text{Re } p > 0$

$\text{Im } \alpha_1 < 0, \text{Im } \alpha_2 < 0, \text{Im } \alpha_3 < 0$  при  $\text{Re } p < 0$

Наконец, для  $v > v_2$ , будем иметь

$\text{Im } \alpha_k = 0, k = 1, 2, 3, 4$  и  $\text{Re } \alpha_1 < \text{Re } \alpha_2 < \text{Re } \alpha_3 < \text{Re } \alpha_4$  при  $p \in (-i\infty, 0)$

$\text{Im } \alpha_k = 0, k = 1, 2, 3, 4$  и  $\text{Re } \alpha_4 < \text{Re } \alpha_3 < \text{Re } \alpha_2 < \text{Re } \alpha_1$  при  $p \in (0, +i\infty)$

$\text{Im } \alpha_1 > 0, \text{Im } \alpha_2 > 0, \text{Im } \alpha_3 > 0, \text{Im } \alpha_4 > 0$  при  $\text{Re } p > 0$

$\text{Im } \alpha_1 < 0, \text{Im } \alpha_2 < 0, \text{Im } \alpha_3 < 0, \text{Im } \alpha_4 < 0$  при  $\text{Re } p < 0$

Найдем теперь по вычетам образ Лапласа функции (2.1):

$$W_L(p, \xi) = \sum_{n=1}^N Q_n(p) h_n(p, \xi) \quad (p \in L) \quad (2.11)$$

$$h_n(p, \xi) = i \sum_{k=1}^{n_1} \frac{H(\alpha_k, p)}{\Phi'_\alpha(\alpha_k, p)} \exp[-i\alpha_k(p)(\xi - \xi_n)] \quad (\xi \leq \xi_n)$$

$$h_n(p, \xi) = -i \sum_{k=n_2}^4 \frac{H(\alpha_k, p)}{\Phi'_\alpha(\alpha_k, p)} \exp[-i\alpha_k(p)(\xi - \xi_n)] \quad (\xi \geq \xi_n)$$

где  $n_1 = 2$  и  $n_2 = 3$  при  $0 \leq v < v_1$ ;  $n_1 = 2$  и  $n_2 = 4$  при  $v = v_1$ ;  $n_1 = 3$  и  $n_2 = 4$  при  $v_1 \leq v < v_2$ ;  $n_1 = 3$  и  $h_n(p, \xi) \equiv 0$  ( $\xi \geq \xi_n$ ) при  $v = v_2$ ;  $n_1 = 4$  и  $h_n(p, \xi) \equiv 0$  ( $\xi \geq \xi_n$ ) при  $v > v_2$ . Продолжим  $W_L(p, \xi)$  аналитически на всю  $p$ -плоскость. Очевидно, особые точки функций  $Q_n(p)$  и  $h_n(p, \xi)$  определяют особенности функции  $W_L(p, \xi)$ . При  $v \leq v_2^*$  для функций  $h_n(p, \xi)$  особыми являются только точки разветвления, расположенные на мнимой оси, так как функции  $h_n(p, \xi)$  симметричны относительно соответствующих перестановок  $\alpha_i \leftrightarrow \alpha_j$  в иных точках разветвления и имеют в них конечный предел. По этой же причине функции  $h_n(p, \xi)$  не терпят разрывов при переходе через выходящие из них разрезы. При  $v_2^* < v < v_2$  функции  $h_n(p, \xi)$  терпят разрыв также на разрезах, соединяющих попарно точки разветвления  $p_{34}$  и  $\bar{p}_{34}$ ,  $p_{24}$  и  $\bar{p}_{24}$  (фиг. 6).

Положим  $\xi = \beta t + \eta$ , где  $\beta$  — групповая скорость пакета волн с волновым числом  $\alpha$ , и запишем функцию (2.1) с учетом соотношений (2.11) в виде  $u(\eta, t) = w(\beta t + \eta, t)$ :

$$u(\eta, t) = \sum_{n=1}^N u_n^-(\eta, t) \quad \text{при } \beta < 0 \text{ или } \beta = 0 \quad (\eta \leq \xi_n) \quad (2.12)$$

$$u(\eta, t) = \sum_{n=1}^N u_n^+(\eta, t) \quad \text{при } \beta > 0 \text{ или } \beta = 0 \quad (\eta \geq \xi_n)$$

$$u_n^-(\eta, t) = I_{n1}(\eta, t) + I_{n2}(\eta, t), \quad u_n^+(\eta, t) = -I_{n3}(\eta, t) - I_{n4}(\eta, t) \quad (0 \leq v < v_1)$$

$$u_n^-(\eta, t) = \sum_{k=1}^3 I_{nk}(\eta, t), \quad u_n^+(\eta, t) = -I_{n4}(\eta, t)$$

$$(v_1 \leq v < v_2 \text{ и } I_{n3}(\eta, t) \equiv 0 \text{ при } v = v_1)$$

$$u_n^-(\eta, t) = \sum_{k=1}^4 I_{nk}(\eta, k), \quad u_n^+(\eta, t) \equiv 0 \quad (v \geq v_2 \text{ и } I_{n4}(\eta, t) \equiv 0 \text{ при } v = v_2)$$

$$I_{nk}(\eta, t) = \frac{1}{2\pi i} \int_{\Gamma_1} f_{nk}(p, \eta) \exp[itS_k(p, \beta)] dp, \quad S_k(p, \beta) = p - i\alpha_k(p)\beta$$

$$f_{nk}(p, \eta) = iQ_n(p) H(\alpha_k, p) \exp[-i\alpha_k(p)(\eta - \xi_{in})]/\Phi'_\alpha(\alpha_k, p)$$

Найдем асимптотику интегралов  $I_{nk}$  при больших  $t$  методом перевала. Рассмотрим случай, когда особыми точками функций  $Q_n(p)$  являются полюсы и указанные выше точки разветвления. Это условие заведомо выполняется, если к элементам экипажа приложены импульсные, постоянные или осциллирующие силы.

Точки перевала функций  $S_k$  ( $\beta \neq 0$ ) определяются из уравнения

$$R[\Phi(\alpha, p), \Psi(\alpha, p)] = 0, \quad \Psi(\alpha, p) = \Phi'_\alpha(\alpha, p) + i\beta\Phi'_p(\alpha, p) \quad (2.13)$$

Непосредственной проверкой можно убедиться в эквивалентности уравнений

$$R[\Phi(\alpha, p + i\beta_*\alpha), \Psi(\alpha, p + i\beta_*\alpha)] = 0 \quad (v = v_*)$$

$$R[\Phi(\alpha, p), \Phi'_\alpha(\alpha, p)] = 0 \quad (v = v_* + \beta_*)$$

В частности, отсюда следует, что число лежащих на мнимой оси точек перевала при  $v = v_*$  и  $\beta = \beta_*$  равно числу расположенных на мнимой оси точек разветвления при  $v = v_* + \beta_*$ .

Учитывая, что групповая скорость  $\beta$  зависит от действительного числа  $\alpha$ , следует рассматривать лишь те корни уравнения (2.13), которые расположены на разрезах, проходящих по мнимой оси. Обозначим их  $p_{kl}^*$  для соответствующих функций  $S_k$ , где  $k$  — номер интеграла, а  $l$  — номер точки перевала.

Функции  $h_n(p, \xi)$  при  $0 \leq v \leq v_2^*$  терпят разрыв только на разрезах, проходящих по мнимой оси, а при  $v_2^* < v < v_2$  — дополнительно на разрезах, соединяющих попарно точки разветвления  $p_{24}$  и  $\bar{p}_{24}$ ,  $p_{34}$  и  $\bar{p}_{34}$  (фиг. 6). Поэтому суммы интегралов  $I_{nk}$  по берегам иных разрезов равны нулю и исходный контур  $\Gamma_1$  может быть деформирован при  $\beta = 0$  в контуры  $\Gamma_{0k}$ , которые проходят по левым и правым берегам разрезов, проведенных по мнимой оси, а при  $\beta \neq 0$  — в перевальные контуры  $\Gamma_{1k}$ , удовлетворяющие уравнению  $\text{Re } S_k(p, \beta) = 0$  ( $k = 1, 2, 3, 4$ ) и проходящие через точки перевала  $p_{kl}^*$ .

Фиг. 8 схематично иллюстрирует форму контуров  $\Gamma_{1k}$  ( $\beta \neq 0$ ) в зависимости от числа точек перевала, причем  $\alpha_k(\bar{p}) = -\bar{\alpha}_k(p)$ ,  $\Gamma_{1k}(\bar{p}) = \bar{\Gamma}_{1k}(p)$ , а штриховка указывает на области  $\text{Re } S_k > 0$ .

Таким образом, асимптотика интегралов  $I_{nk}$  определяется вкладом точек перевала при  $\beta \neq 0$  или точек разветвления при  $\beta = 0$  плюс сумма вкладов полюсов функций  $Q_n(p)$ , которые проходит прямая  $\Gamma_1$  при деформировании в перевальный контур.

### 3. Общие свойства интегралов $I_{nk}$

**Лемма 1.** Если  $Q_n(p)$  не имеет особых точек в полуплоскости  $\text{Re } p \geq 0$ , то при  $\beta = 0$  ( $\eta \equiv \xi$ ) имеем

$$1^*. I_{n2}(\xi, t) = O(t^{-\infty}) \text{ при } v_1 \leq v \leq v_2^*;$$

$$2^*. I_{nk}(\xi, t) = O(t^{-\infty}), \quad k = 2, 3 \text{ при } v_2^* < v \leq v_2;$$

$$3^*. I_{nk}(\xi, t) = O(t^{-\infty}), \quad k = 1, 2, 3, 4 \text{ при } v > v_2.$$

*Доказательство.* При  $v_1 \leq v \leq v_2^*$  контур  $\Gamma_{02}$ , при  $v_2^* < v \leq v_2$  контуры  $\Gamma_{02}$  и  $\Gamma_{03}$ , а при  $v \geq v_2$  все контуры  $\Gamma_{0k}$  проходят по мнимой оси, которая является границей аналитичности соответствующих подынтегральных функций. Действительно, предположим противное и замкнем контур дугой большого радиуса в левой полуплоскости. Тогда учет особенностей в полуплоскости  $\operatorname{Re} p < 0$  приводит к решению, которое не удовлетворяет исходному нулевому граничному условию при  $\xi \rightarrow -\infty$ , так как согласно приведенным ранее результатам в полуплоскости  $\operatorname{Re} p < 0$  выполняются условия  $\operatorname{Im} \alpha_k < 0$  ( $k = 2, 3$  при  $v_1 \leq v < v_2$  и  $k = 1, 2, 3, 4$  при  $v \geq v_2$ ).

Нетрудно заметить, что рассматриваемые интегралы не имеют особенностей на мнимой оси. Интегрируя их по частям  $N$  раз, получаем, что  $I_{nk}(\xi, t) = O(t^{-N})$ . Устремляя  $N \rightarrow \infty$ , убеждаемся в справедливости символических асимптотических формул утверждений  $1^*$ — $3^*$ . Лемма доказана.

*Лемма 2.* Пусть  $0 \leq v \leq v_1$ . Тогда для любого  $t > 0$  выполняются тождества

$$1^*. I_{n1}(0, t) \equiv 0 \text{ при } \beta \leq -v_2 - v;$$

$$2^*. I_{n2}(0, t) \equiv 0 \text{ при } \beta \leq -v_1 - v;$$

$$3^*. I_{n3}(0, t) \equiv 0 \text{ при } \beta \geq v_1 - v;$$

$$4^*. I_{n4}(0, t) \equiv 0 \text{ при } \beta \geq v_2 - v.$$

*Доказательство.* Используя метод возмущений [5], вычислим асимптотику корней полинома (2.3) при  $p \rightarrow \infty$  ( $\operatorname{Re} p > 0$ ):

$$\alpha_1(p) = ip(v_2 + v)^{-1} + O(1), \quad \alpha_2(p) = ip(v_1 + v)^{-1} + O(1) \quad (3.1)$$

$$\alpha_3(p) = -ip(v_1 - v)^{-1} + O(1), \quad \alpha_4(p) = -ip(v_2 - v)^{-1} + O(1)$$

При  $v = v_1$  отсутствует корень  $\alpha_3$  и  $I_{n3} \equiv 0$ , а при  $v = v_2$  — корень  $\alpha_4$  и  $I_{n4} \equiv 0$ .

Докажем первое утверждение леммы. Обозначим  $b = \operatorname{Re} \Gamma_1$  (прямая  $\Gamma_1$  проходит правее всех особенностей подынтегральных функций) и сделаем замену переменных в интеграле  $I_{n1}$ , положив  $p = R \exp(i\varphi) + b$ . Замкнем контур  $\Gamma_1$  в правой полуплоскости дугой полуокружности  $C_R$  радиуса  $R$  и вычислим предел

$$V = \lim_{C_R} \int f_{n1}(p, 0) \exp[itS_1(p, \beta)] dp \text{ при } R \rightarrow \infty \quad (\beta \leq -v_2 - v)$$

Учитывая асимптотические равенства (3.1), будем иметь

$$|f_{n1}(R \exp(i\varphi) + b, p)| < \mu$$

где  $\mu \rightarrow 0$  при  $R \rightarrow \infty$ . Кроме того, воспользуемся очевидными неравенствами

$$\cos \varphi \geq 1 - 2\pi^{-1}\varphi, \quad 1 + \beta(v_2 + v)^{-1} \leq 0 \quad (\beta \leq -v_2 - v)$$

Тогда получим при любом  $t > 0$  ( $t$  — фиксированное)

$$\left| \int_{C_R} f_{n1}(p, 0) \exp[itS_1(p, \beta)] dp \right| \leq \mu R \int_{-\pi/2}^{\pi/2} |\exp[itS_1(p, \beta)]| d\varphi =$$

$$\begin{aligned}
&= 2\mu R \int_0^{\pi/2} \exp [tR (1 + \beta (v_2 + v)^{-1}) \cos \varphi + O (tR^{-1})] d\varphi < \\
&< 2\mu R \int_0^{\pi/2} \exp [-uR (1 - 2\pi^{-1}\varphi) + O (tR^{-1})] d\varphi = \\
&= \mu \pi u^{-1} \exp [O (tR^{-1})] [1 - \exp (-uR)] \rightarrow 0, \quad R \rightarrow \infty \\
&-u = t (1 + \beta (v_2 + v)^{-1}) \leq 0
\end{aligned}$$

По построению ядро интеграла  $I_{n1}$  не имеет особенностей правее контура  $\Gamma_1$ . Поэтому интеграл  $I_{n1}$  по контуру  $\Gamma_1$  равен интегралу по контуру  $C_R$ , что и доказывает утверждение 1\* леммы 2.

Утверждения 2\*—4\* леммы 2 доказываются по аналогичной схеме.

*Лемма 3.* Пусть  $v_1 < v \leq v_2$ . Тогда для любого  $t > 0$  выполняются тождества

- 1\*.  $I_{n1}(0, t) \equiv 0$  при  $\beta \leq -v_2 - v$ ;
- 2\*.  $I_{n2}(0, t) \equiv 0$  при  $\beta \leq -v_1 - v$ ;
- 3\*.  $I_{n3}(0, t) \equiv 0$  при  $\beta \leq v_1 - v$ ;
- 4\*.  $I_{n4}(0, t) \equiv 0$  при  $\beta \geq v_2 - v$ .

*Лемма 4.* Пусть  $v > v_2$ . Тогда для любого  $t > 0$  выполняются тождества

- 1\*.  $I_{n1}(0, t) \equiv 0$  при  $\beta \leq -v_2 - v$ ;
- 2\*.  $I_{n2}(0, t) \equiv 0$  при  $\beta \leq -v_1 - v$ ;
- 3\*.  $I_{n3}(0, t) \equiv 0$  при  $\beta \leq v_1 - v$ ;
- 4\*.  $I_{n4}(0, t) \equiv 0$  при  $\beta \leq v_2 - v$ .

Леммы 3 и 4 доказываются по схеме доказательства леммы 2.

*Лемма 5.* Пусть контур  $\Gamma_{ik}$  совпадает с мнимой осью и на нем отсутствуют точки перевала или точки разветвления. Тогда, если  $Q_n(p)$  не имеет особых точек в полуплоскости  $\operatorname{Re} p \geq 0$ , то  $I_{nk}(\eta, t) = O(t^{-\infty})$ .

*Доказательство.* Интегрируя  $I_{nk}$  по частям  $N$  раз, получаем оценку  $I_{nk}(\eta, t) = O(t^{-N})$ . Устремляя  $N \rightarrow \infty$ , убеждаемся в справедливости символической асимптотической формулы. Лемма доказана.

Для получения асимптотических разложений можно воспользоваться известными формулами [5], как это было сделано в [3]. Поэтому рассмотрим подробнее лишь особенности решения, возникающие при движении нагрузки со скоростями звука  $v_1$  и  $v_2$ .

Формулы (2.9) и (2.10) показывают, что ядра интегралов  $I_{n4}$  при  $\xi > 0$  и  $I_{n1}$  при  $\xi < 0$  имеют существенно особую точку  $p = 0$ . Поэтому интегралы  $I_{n4}$  при  $\xi > 0$  и  $I_{n1}$  при  $\xi < 0$  расходятся. Чтобы понять причину этого явления, оценим производные по  $\xi$  интегралов  $I_{n4}$  и  $I_{n1}$  в точке  $\xi = 0$ .

Пусть функция  $Q_n(p)$  имеет полюс порядка  $m$  в точке  $p = 0$ . Тогда

$$f_{nr} = \left[ Q_{-mn}(0) \frac{(\beta_2 - 2\beta_1 v_k^2)}{4v_k (\beta_3 + k_1 \beta_1 - 4\beta_1 v_k^2)} p^{-1-m} + O(p^{1-m}) \right] \exp(-i\alpha_r \xi) \quad (3.2)$$

где  $r = 4$  при  $k = 1$  и  $r = 1$  при  $k = 2$ , причем асимптотика  $\alpha_r$  дается формулами (2.9) и (2.10). При  $\xi = 0$  выражение (3.2) имеет в точке  $p = 0$  полюс кратности

$m + 1$ , вклад которого в асимптотику интегралов  $I_{n4}$  и  $I_{n1}$  вычисляется по формуле ( $I_{nr}(0, t; x) \equiv I_{nr}(0, t)$  в точке  $x$ ):

$$I_{nr}(0, t; p = 0) = \frac{(\beta_2 - 2\beta_1 v_k^2)}{4v_k(\beta_3 + k_1\beta_1 - 4\beta_1 v_k^2)} \frac{Q_{-mn}(0)}{m!} t^m, \quad m \geq 0$$

$$\frac{\partial^j}{\partial \xi^j} I_{nr}(0, t; p = 0) = Q_{-mn}(0) \frac{[\beta_2 + k_1 - 2(1 + \beta_1)v_k^2]^j (\beta_2 - 2\beta_1 v_k^2)}{[4v_k(\beta_3 + k_1\beta_1 - 4\beta_1 v_k^2)]^{j+1} (m+j)!} t^{m+j}, \quad j \geq 0$$

В частности, при воздействии импульсной нагрузки в точке  $\xi = 0$  ( $\eta = \beta = 0$ ) при  $t \rightarrow +\infty$  имеем

$$u_n^-(0, t) \rightarrow 0, \quad u_n^+(0, t) \rightarrow I_{n4}(0, t; p = 0) \neq 0 \quad (v = v_1) \quad (3.3)$$

$$u_n^-(0, t) \rightarrow I_{n1}(0, t; p = 0) \neq 0, \quad u_n^+(0, t) = 0 \quad (v = v_2)$$

То есть с течением времени решение становится разрывным, а правые производные решения по  $\xi$  при  $v = v_1$  и левые производные решения по  $\xi$  при  $v = v_2$  неограниченно возрастают. Более того, можно показать, что образ Лапласа решения (2.11) терпит разрыв при  $\xi = 0$  для любого  $p$ . Поэтому следует предположить, что разрыв балки происходит мгновенно после приложения к ней нагрузки, движущейся с критическими скоростями  $v_1$  или  $v_2$ .

Рассмотрим теперь поведение решения в окрестности точки  $\xi = \beta t$  при  $v = v_1$ ,  $\beta \rightarrow 0+$  и  $v = v_2$ ,  $\beta \rightarrow 0-$ . В этом случае соответственно на контурах  $\Gamma_{14}$  и  $\Gamma_{11}$  имеется по две точки перевала, которые стремятся к существенно особой точке  $p = 0$ :

$$p_{4l}^* \approx \pm i \sqrt{\alpha_k^* \beta}, \quad \beta \rightarrow 0+ \quad (l = 5, 6); \quad p_{1l}^* \approx \pm i \sqrt{\alpha_k^* \beta}, \quad \beta \rightarrow 0- \quad (l = 1, 2)$$

$$\alpha_k^* \approx -[\beta_2 + k_1 - 2(1 + \beta_1)v_k^2][4v_k(\beta_3 + k_1\beta_1 - 4\beta_1 v_k^2)]^{-1}$$

Тогда вклады точек  $p_{4l}^*$  и  $p_{1l}^*$  вычисляются по формуле

$$I_{nr}(\eta, t; p_{il}^*) \approx \text{sign}(\Phi'_\alpha) \exp\{i\kappa_l [(1+t)\sqrt{\alpha_k^* \beta}]\} \times \quad (3.4)$$

$$\times [i\beta^{-1/4} A \exp(i\kappa_l \sqrt{\alpha_k^* / \beta} \eta) t^{-1/2} + O(t^{-3/2})]$$

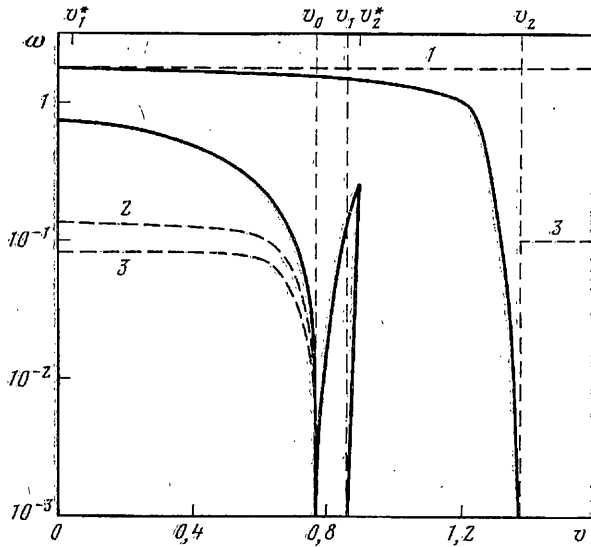
$$A = \frac{(\beta_2 - 2\beta_1 v_k^2)(\alpha_k^*)^{7/4}}{2\sqrt{\pi} [\beta_2 + k_1 - 2(1 + \beta_1)v_k^2]}, \quad \kappa_l = (-1)^{l+1}$$

где  $r = 4$ ,  $\beta \rightarrow 0+$  ( $l = 5, 6$ ) при  $k = 1$  и  $r = 1$ ,  $\beta \rightarrow 0-$  ( $l = 1, 2$ ) при  $k = 2$ .

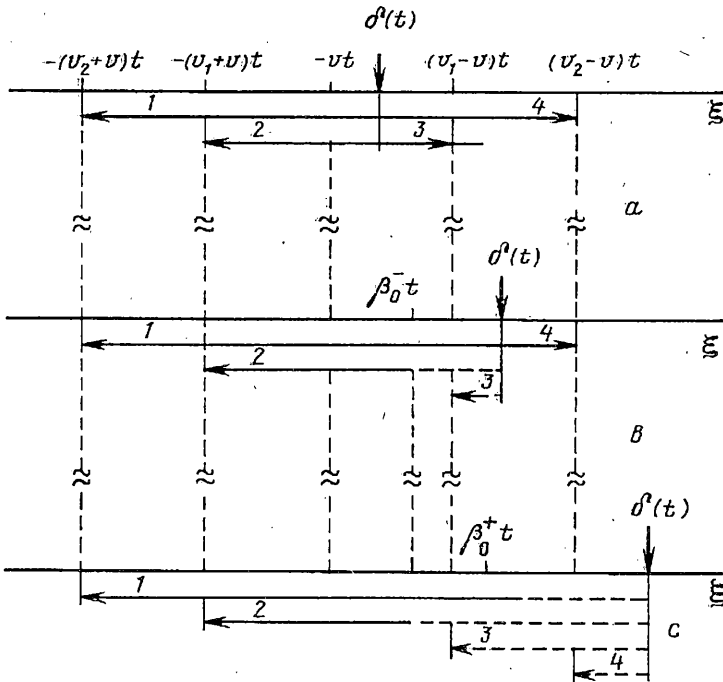
То есть вклады  $I_{n4}(\eta, t; p_{4l}^*)$  ( $l = 5, 6$ ) и  $I_{n1}(\eta, t; p_{1l}^*)$  ( $l = 1, 2$ ) при  $t \rightarrow +\infty$  описывают медленно осциллирующее сжатие профиля балки соответственно перед точкой  $\xi = 0$  и позади нее, причем амплитуда решения неограниченно увеличивается соответственно при  $\beta \rightarrow 0+$  и  $\beta \rightarrow 0-$ .

**4. Анализ асимптотических решений.** Рассмотрим воздействие на балку типа Тимошенко некоторых типов нагрузок с одной точкой контакта  $N = 1$ ,  $\xi_1 = 0$  (соответствующий индекс единица опускается).

*1°. Действие сосредоточенной силы.* Пусть к балке приложена импульсная сила  $q(t) = \delta(t)$ ,  $Q(p) \equiv 1$ . Как и в случае балки Бернулли — Эйлера, частоты  $\omega_* = |\text{Im } p_{ij}|$  ( $p_{ij}$  — точки разветвления, лежащие на мнимой оси) являются основными, т. е. определяющими с течением времени форму собственных колебаний балки в окрестности точки приложения силы. Сплошные линии на фиг. 9 иллюстрируют изменение основных частот  $\omega_*$  в зависимости от скорости движения  $v$  согласно уравнению (2.6) при  $\gamma_1 = k_1 = 0$ ,  $\gamma_1 = 0,2$ ,  $v = 0,35$ , причем на участке



Фиг. 9



Фиг. 10

$0 \leq v \leq v_1^*$  три различные частоты сливаются в одну линию, так как мнимые части точек разветвления  $p_{14}^*$ ,  $p_{24}$  и  $p_{13}$  различаются лишь в третьей значащей цифре. Штриховая линия 1 показывает лежащие на мнимой оси нули функции  $H(\alpha_k, p)$ , которые являются корнями уравнения

$$R[\Phi(\alpha, p), H(\alpha, p)] = 0 \quad (4.1)$$

Результант (4.1) определяет уравнение восьмой степени при  $v \neq v_{1,2}$  и шестой степени при  $v = v_1$  или  $v = v_2$  относительно параметра  $p$ . Причем пара комплексно

сопряженных нулей кратности два ( $p_j^\circ = \pm i\sqrt{2\beta_1}$ ,  $j = 1, 2$ ) лежит на мнимой оси в  $p$ -плоскости, а остальные четыре нуля располагаются на действительной оси симметрично относительно мнимой оси. Заметим, что нули уравнения (4.1) в общем не совпадают с точками разветвления  $p_{ij}$  за исключением случая  $v = 0$ , когда  $p_1^\circ = p_{14}$ ,  $p_2^\circ = \bar{p}_{14}$  и имеют место асимптотики при  $\beta = 0$  ( $\eta \equiv \xi$ ):

$$I_k(\xi, t; p_{14}) = O(t^{-9/4}), \quad I_k(\xi, t; \bar{p}_{14}) = O(t^{-9/4}) \quad (v = 0, k = 1, 4)$$

Из формул (2.12) и лемм 2—5 следует, что изгибная волна, вызванная действием подвижной импульсной нагрузки представляет собой суперпозицию  $k$  волн ( $k = 1, 2, 3, 4$ ), каждая из которых описывается интегралом  $I_k(\eta, t)$  и распространяется от точки приложения силы на бесконечность с соответствующей конечной групповой скоростью. На фиг. 10 приводится схема распространения изгибной волны для трех принципиально различных диапазонов движения импульсной силы: а)  $0 \leq v < v_1$ , б)  $v_1 < v < v_2$ , в)  $v > v_2$  (горизонтальные штриховые линии указывают на зоны экспоненциального затухания возмущений  $O(t^{-\infty})$ ). Воздействие же на балку импульсной силы, движущейся со скоростями звука  $v_1$  или  $v_2$ , вызывает, как показывают формулы (3.3) и (3.4), ее разрыв и «сморщивание» соответственно перед и позади точки  $\xi = 0$ .

Рассмотрим действие осциллирующей силы

$$q(t) = -H(t) \exp(i\omega_0 t), \quad Q(p) = -(p - i\omega_0)^{-1}$$

Вклад полюса  $p = i\omega_0$  описывает вынужденные колебания балки. При  $0 \leq v < v_0$  и  $\omega_0 < |\operatorname{Im} p_{13}|$  ( $0 \leq v \leq v_1^*$ ,  $0 \leq k_1 < k_1^*$ ) или  $\omega_0 < |\operatorname{Im} p_{23}|$  ( $v_1^* < v < v_0$ ,  $0 \leq k_1 < k_1^*$ , либо  $k \geq k_1^*$ ) с течением времени в окрестности точки  $\xi = 0$  устанавливается режим стоячих волн. В любом ином случае происходит возбуждение  $k$ -ой волны и возникают распространяющиеся в противоположные стороны (при  $v > v_2$  отстающие от движущейся нагрузки) прогрессивные волны, которые накладываются на собственные колебания балки. Групповые скорости прогрессивных волн можно вычислить, разрешив результат (2.13) относительно  $\beta$ .

При  $\omega_0 = \operatorname{Im} p_j^\circ$  ( $j = 1, 2$ ) полюс  $p = i\omega_0$  исчезает, компенсируясь нулем функции  $H(\alpha_k, p)$ . Поэтому с течением времени, несмотря на воздействие осциллирующей силы, прогиб балки стремится к исходной прямолинейной форме. Подобное явление антирезонанса может иметь место в упругих системах с несколькими степенями свободы [6].

Появлению резонанса соответствует совпадение частоты осциллирующей силы  $\omega_0$  с одной из основных частот собственных колебаний балки  $\omega_*$ . В этом случае увеличение прогиба балки с течением времени пропорционально  $t^{M/(M+1)}$ , где  $M$  — порядок точки разветвления  $i\omega_*$ . Разрешив уравнение (2.6) относительно  $v$ , нетрудно вычислить соответствующие критические скорости движения силы. В частности, критическая скорость движения постоянной силы ( $\omega_0 = 0$ ) равняется  $v_0$ .

Таким образом, сплошные линии и штриховая линия 1 на фиг. 9 иллюстрируют зависимость резонансных и антирезонансной частот балки от скорости движения сосредоточенной силы. Однако уравнение (4.1) имеет также пару нулей и на положительной части действительной оси.

Это указывает на то, что при действии на балку типа Тимошенко экспоненциальной силы с декрементом возрастания, равным одному из двух положительных действительных корней уравнения (4.1), прогиб балки не только не увеличивается, а напротив со временем уменьшается. По-видимому, этот факт следует признать дефектом уравнения типа Тимошенко.

2°. Действие силы, приложенной к сосредоточенной массе. С учетом уравнений (1.4), (2.11) при  $\mu = \varepsilon = 0$  имеем

$$W_L(p, \xi) = Q(p) h(p, \xi), \quad mp^2 W_L(p, 0) = P_L(p) - Q(p)$$

где  $P_L(p)$  — образ Лапласа силы  $P(t)$ , приложенной к массе. Отсюда получаем

$$Q(p) = P_L(p) [mp^2 h(p, 0) + 1]^{-1}$$

Так как  $h(p, 0) \equiv 0$  при  $v > v_2$ , то  $Q(p) \equiv P_L(p)$  и наличие сосредоточенной массы в этом случае не оказывает влияния на динамику балки.

Рассмотрим действие импульсной силы  $P(t) = \delta(t)$ ,  $P_L(p) \equiv 1$ . Особыми точками функции  $Q(p)$  являются лежащие на мнимой оси точки разветвления  $p_{ij}$  и, возможно, комплексно сопряженные полюсы.

При  $0 \leq v < v_0$  функция  $Q(p)$  имеет два комплексно сопряженных полюса, лежащих на мнимой оси, и импульсная сила вызывает незатухающие гармонические колебания балки в окрестности сосредоточенной массы с частотой  $\omega_0 = |\operatorname{Im} p_1|$ , являющейся наименьшей в спектре собственных частот балки. При  $m \gg 1$  для вычисления полюсов функции  $Q(p)$  можно воспользоваться приближенной формулой, полученной методом возмущений [7]:

$$p_{1,2} \approx \pm i [mh(0, 0)]^{-1/2} \quad (0 \leq v < v_0)$$

Штриховая линия 2 на фиг. 9 показывает изменение частоты  $\omega_0$  в зависимости от скорости движения массы  $m = 100$  при  $\gamma_1 = k_1 = 0$ ,  $\gamma_2 = 0,2$ ,  $v = 0,35$ .

При  $v = v_0$  функция  $Q(p)$  не имеет полюсов. Как и в случае балки Бернулли — Эйлера, начальный прогиб балки, вызванный импульсной силой, с течением времени монотонно уменьшается пропорционально  $t^{-1/2}$ .

При  $v_0 < v < v_1$  функция  $Q(p)$  имеет четыре полюса, два из которых расположены в полуплоскости  $\operatorname{Re} p > 0$ , а при  $v_1 < v < v_2$  функция  $Q(p)$  имеет два лежащих на действительной оси полюса, которые расположены симметрично относительно мнимой оси. Поэтому решение является неустойчивым, и прогиб балки увеличивается экспоненциально при  $t \rightarrow +\infty$ .

Рассмотрим действие осциллирующей силы при  $0 \leq v \leq v_0$ :

$$P(t) = -H(t) \exp(i\omega t), \quad Q(p) = -(p - i\omega)^{-1} [mp^2 h(p, 0) + 1]^{-1}.$$

Как и в случае балки Бернулли — Эйлера, появлению резонанса при  $0 \leq v < v_0$  соответствует совпадение частоты осциллирующей силы  $\omega$  с частотой собственных колебаний сосредоточенной массы  $\omega_0$  (при совпадении полюса  $p = i\omega$  с точками разветвления  $p_{ij}$  решение остается устойчивым). При  $v = v_0$  постоянная сила ( $\omega = 0$ ) вызывает с течением времени монотонный рост прогиба балки в окрестности точки  $\xi = 0$ , пропорциональный  $t^{1/2}$ . Штриховая линия 2 на фиг. 9 иллюстрирует также зависимость резонансной частоты балки от скорости движения сосредоточенной массы.

3°. Действие силы, приложенной к подрессоренной массе. Уравнение деформации рессоры и колебания массы имеют вид

$$\mu [\partial w(0, t)/\partial t - dz/dt] + \varepsilon [w(0, t) - z] = -q(t) \quad (4.2)$$

$$m d^2 z/dt^2 - \mu [\partial w(0, t)/\partial t - dz/dt] - \varepsilon [w(0, t) - z] = P(t)$$

где  $z = z(t)$  — прогиб рессоры. Переходя к трансформантам Лапласа, получаем систему уравнений

$$W_L(p, \xi) = Q(p) h(p, \xi), \quad \mu p [W_L(p, 0) - Z(p)] +$$

$$+ \varepsilon [W_L(p, 0) - Z(p)] = -Q(p)$$

$$mp^2 Z(p) - \mu p [W_L(p, 0) - Z(p)] - \varepsilon [W_L(p, 0) - Z(p)] = P_L(p)$$

Решая эту систему, находим



$$Q(p) = P_L(p) a(p)/b(p), \quad Z(p) = P_L(p) [a(p) h(p, 0) + 1]/b(p)$$

$$b(p) = mp^2 [1 + a(p) h(p, 0)] + a(p), \quad a(p) = \mu p + \varepsilon$$

$$z(t) = \frac{1}{2\pi i} \int_{\Gamma_1} Z(p) \exp(pt) dp$$

Так как  $h(p, 0) \equiv 0$  при  $v > v_2$ , то

$$Q(p) = P_L(p)(\mu p + \varepsilon)/c(p), \quad Z(p) = P_L(p)/c(p), \quad c(p) = mp^2 + \mu p + \varepsilon$$

и решения  $w(0, t)$ ,  $z(t)$  можно найти по вычетам. Более того, несложно заметить, что при  $v \geq v_2$  уравнения (4.2) становятся замкнутыми (так как  $w_n(0, t) \equiv 0$ ) и определяют колебания элементов экипажа на жестком основании.

Рассмотрим действие импульсной силы  $P(t) = \delta(t)$ ,  $P_L(p) \equiv 1$ . Особыми точками функции  $Q(p)$  являются лежащие на мнимой оси точки разветвления  $p_{ij}$  и, возможно, комплексно сопряженные полюсы.

При  $0 \leq v < v_0$  функция  $Q(p)$  имеет два комплексно сопряженных полюса, лежащих на мнимой оси, и импульсная сила вызывает незатухающие гармонические колебания подрессоренной массы и балки в окрестности точки  $\xi = 0$  с частотой  $\omega_0 = |\operatorname{Im} p_1|$ , являющейся наименьшей в спектре собственных частот балки. При  $m \gg 1$  для вычисления полюсов функции  $Q(p)$  можно воспользоваться приближенной формулой, полученной методом возмущений:

$$p_{1,2} \approx \pm i (\varepsilon/m)^{1/2} [1 + \varepsilon h(0, 0)]^{-1/2}, \quad 0 \leq v < v_0$$

Штриховые линии 3 на фиг. 9 показывают изменение частоты  $\omega_0$  в зависимости от скорости движения массы  $m = 100$  при  $\gamma_1 = k_1 = \mu = 0$ ,  $\varepsilon = 1$ ,  $\gamma_2 = 0,2$ ,  $v = 0,35$ .

При  $v = v_0$  функция  $Q(p)$  не имеет полюсов. Как и в случае балки Бернулли — Эйлера, начальный прогиб балки, вызванный импульсной силой, с течением времени монотонно уменьшается пропорционально  $t^{-1/2}$ .

При  $v_0 < v < v_2$  функция  $Q(p)$  имеет четыре полюса, два из которых расположены в полуплоскости  $\operatorname{Re} p > 0$ . Поэтому решение является неустойчивым и прогиб балки увеличивается экспоненциально при  $t \rightarrow +\infty$ . Более точные вычисления показали, что в работе [3] была допущена ошибка. При движении подрессоренной массы по балке Бернулли — Эйлера со скоростью, превышающей критическую ( $v > v_0$ ), функция  $Q(p)$  также имеет четыре полюса, два из которых расположены в полуплоскости  $\operatorname{Re} p > 0$ . Поэтому решение является неустойчивым и прогиб балки увеличивается экспоненциально при  $t \rightarrow +\infty$ .

Рассмотрим действие осциллирующей силы при  $0 \leq v \leq v_0$  или  $v > v_2$ :

$$P(t) = -H(t) \exp(i\omega t), \quad Q(p) = -(p - i\omega)^{-1} [mp^2 h(p, 0) + 1]^{-1}$$

Как и в случае балки Бернулли — Эйлера, появлению резонанса при  $0 \leq v < v_0$  или  $v > v_2$  соответствует совпадение частоты осциллирующей силы  $\omega$  с частотой собственных колебаний подрессоренной массы  $\omega_0$  (при совпадении полюса  $p = i\omega$  с точками разветвления  $p_{ij}$  решение остается устойчивым). При  $v = v_0$  постоянная сила ( $\omega = 0$ ) вызывает с течением времени монотонный рост прогиба рессоры и балки в окрестности точки  $\xi = 0$ , пропорциональный  $t^{1/2}$ . Поэтому штриховые линии 3 на фиг. 9 иллюстрируют также зависимость резонансной частоты балки от скорости движения подрессоренной массы.

## СПИСОК ЛИТЕРАТУРЫ

1. Якушев Н. З. Динамика деформируемых систем под воздействием движущихся нагрузок//Исследования по теории пластин и оболочек. Изд-во Казан. ун-та, 1985. Вып. 18. Ч. 1. С. 3—56.
2. Коваленко Е. В., Дуплякин И. А. Об уточненных уравнениях динамического деформирования тонких пластин//Гидроаэромеханика и теория упругости. Математические методы в теории упругости и гидроаэромеханике. Днепропетровск: ДГУ, 1988. С. 74—80.
3. Дуплякин И. А. Движение экипажа с постоянной скоростью по балке бесконечной длины, лежащей на основании с двумя упругими характеристиками//ПММ. 1991. Т. 55. Вып. 3. С. 461—471.
4. Корн Г., Корн Т. Справочник по математике для научных работников и инженеров. М.: Наука, 1970, 720 с.
5. Федорюк М. В. Асимптотика: Интегралы и ряды. М.: Наука, 1987. 544 с.
6. Пановко Я. Г., Губанова И. И. Устойчивость и колебания упругих систем: современные концепции, ошибки и парадоксы. М.: Наука, 1979. 384 с.
7. Найфэ А. Введение в методы возмущений. М.: Мир, 1984. 535 с.

Москва

Поступила в редакцию  
18.III.1994